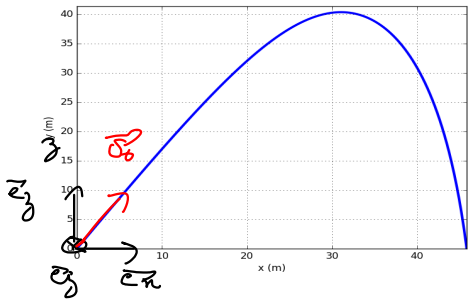


M1. Trajectoire de projectile



$\downarrow \vec{g}$

$\vec{F} = -\lambda \sigma \vec{\sigma}, \lambda > 0$
 $\Rightarrow \|\vec{F}\| = \lambda \sigma^2$

1/ $[\vec{F}] = [\lambda \sigma^2] \Leftrightarrow [\lambda] = \frac{[\vec{F}]}{[\sigma^2]}$

$[\lambda] = \frac{MLT^{-2}}{L^2T^{-2}} = ML^{-1}$

2/ Syst : $\pi(L)$

Ref : Terre, Galilée

Invariants du flux : base de travail $(\vec{e}_x, \vec{e}_y, \vec{g})$

- poids $\vec{P} = m\vec{g} = \begin{pmatrix} 0 \\ 0 \\ -mg \end{pmatrix}$

- frottement : $\vec{F} = -\lambda \sigma \begin{pmatrix} \dot{x} \\ \dot{y} \\ \dot{z} \end{pmatrix}$

avec $\sigma = \sqrt{\dot{x}^2 + \dot{y}^2 + \dot{z}^2}$

- RFD appliquée à $\pi(L)$ de Σ galiléen :

$m \frac{d\vec{v}}{dt} = m\vec{g} - \lambda \sigma \vec{\sigma}$

3/ On cherche une solution de $\vec{v} = v \vec{e}$

$\frac{d\vec{v}}{dt} = \vec{0} \Rightarrow \vec{0} = m\vec{g} - \lambda v \vec{e}$

$\Rightarrow \vec{e} \parallel \vec{g}$ de \vec{e} sens

$\lambda v \vec{e} = m\vec{g} \Rightarrow v \vec{e} = \sqrt{\frac{mg}{\lambda}}$

Soit $\vec{v} = -\sqrt{\frac{mg}{\lambda}} \vec{e}_y$

A.N. : $v = 16 \text{ m.s}^{-1}$

4/

$$\frac{d\vec{v}}{dt} = \vec{g} - \left(\frac{\lambda v}{m} \right) \vec{v} \quad \text{L.T}^{-1}$$

\swarrow L.T⁻² \swarrow L.T⁻² \downarrow T⁻¹ \swarrow L.T⁻²

$$\left[\frac{m}{\lambda v} \right] = T$$

$\tau = \frac{m}{\lambda v}$ satisfaisant? \vec{v} inconnue et dépend de t

Choisissons

$$v = v_e \Rightarrow \tau = \frac{m}{\lambda v_e}$$

soit $\tau = \frac{m}{\lambda} \times \sqrt{\frac{1}{m g}}$

soit $\tau = \sqrt{\frac{m}{\lambda g}}$

Temps caractéristique du régime transitoire.

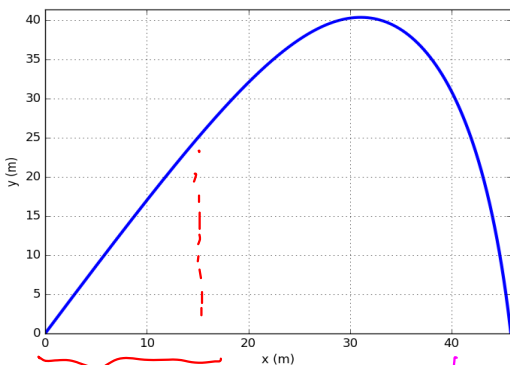
A.N. $\tau = 1,2 \text{ s}$

5. Projeter la RFD sur $\vec{e}_x, \vec{e}_y, \vec{e}_z$:

$$\begin{cases} m \ddot{x} = - \lambda \sqrt{\dot{x}^2 + \dot{y}^2 + \dot{z}^2} \dot{x} \\ m \ddot{y} = - \lambda \sqrt{\dot{x}^2 + \dot{y}^2 + \dot{z}^2} \dot{y} \\ m \ddot{z} = - m g - \lambda \sqrt{\dot{x}^2 + \dot{y}^2 + \dot{z}^2} \dot{z} \end{cases}$$

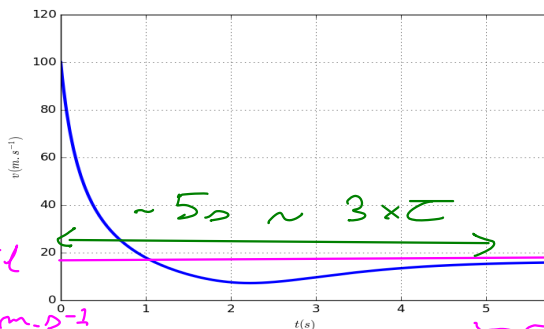
Syst d'équato diff non linéaires couplés

6/ Solution.



$\vec{v} \approx v(t) \frac{\vec{v}_0}{v_0}$
Mvt ballistique

$\vec{v} = v_e$
régime permanent



$v_e \approx 16 \text{ m.s}^{-1}$

régime transitoire

$v = v_e$
régime permanent

RFD appliqué à $M(m)$ dans \mathcal{R} galiléen :

$$m \vec{a}(M) = \vec{P} + \vec{T} + \vec{N}$$

Projection sur $(\vec{e}_r, \vec{e}_\theta)$

$$\vec{a} = \begin{pmatrix} \cancel{\ddot{r}} - \frac{r\dot{\theta}^2}{R} \\ r\ddot{\theta} + 2\dot{r}\dot{\theta} \end{pmatrix}$$

\uparrow
 $R = R = \text{cte.}$

$$\begin{cases} -mR\dot{\theta}^2 = -mg \cos \theta + N & (1) \\ mR\ddot{\theta} = mg \sin \theta + T & (2) \end{cases}$$

2.3. $\Pi_g \vec{a} \cdot \vec{e}_r = -\left(\frac{v^2}{R}\right)$

$\vec{a} \cdot \vec{e}_r = -R\dot{\theta}^2$. Il faut $\dot{\theta} = f(v)$

$$\vec{v} = \cancel{\dot{r}} \vec{e}_r + \frac{r\dot{\theta}}{R} \vec{e}_\theta = R\dot{\theta} \vec{e}_\theta$$

$r=R$ R

D'où $v = \|\vec{v}\| = R|\dot{\theta}|$

$$\Rightarrow \dot{\theta}^2 = \frac{v^2}{R^2}$$

$$\Rightarrow \begin{cases} \vec{a} \cdot \vec{e}_r = -\frac{v^2}{R} \\ \dot{\theta} = \text{cte} \Rightarrow \ddot{\theta} = 0 \end{cases}$$

2.4. D'où les équations du mouvement :

$$\begin{cases} -m\frac{v^2}{R} = -mg \cos \theta + N & (1) \\ 0 = mg \sin \theta + T & (2) \end{cases}$$

(2) : T compense la composante tangentielle du poids. $\Rightarrow \vec{v} = \text{cte.}$

Condition de adhérence de la voiture :
 $N > 0$.

or (1) : $N = mg \cos \theta - m\frac{v^2}{R}$

d'où ..

$$N > 0 \Leftrightarrow \cancel{mg} \cos \theta - \cancel{m} \frac{v^2}{R} > 0$$

$$\Leftrightarrow v < \sqrt{gR \cos \theta}$$

condition d'adhérence en θ

Condition de décollement en θ :

$$\sigma \geq \sqrt{gR \cos \theta}$$

3. Supposons que $\sigma \geq \sqrt{gR \cos \theta}$.
alors avec $\theta \in (0, \frac{\pi}{2})$ et $2 > \theta$
alors $\cos 2 < \cos \theta$

$$\Rightarrow \sqrt{gR \cos \theta} > \sqrt{gR \cos 2}$$

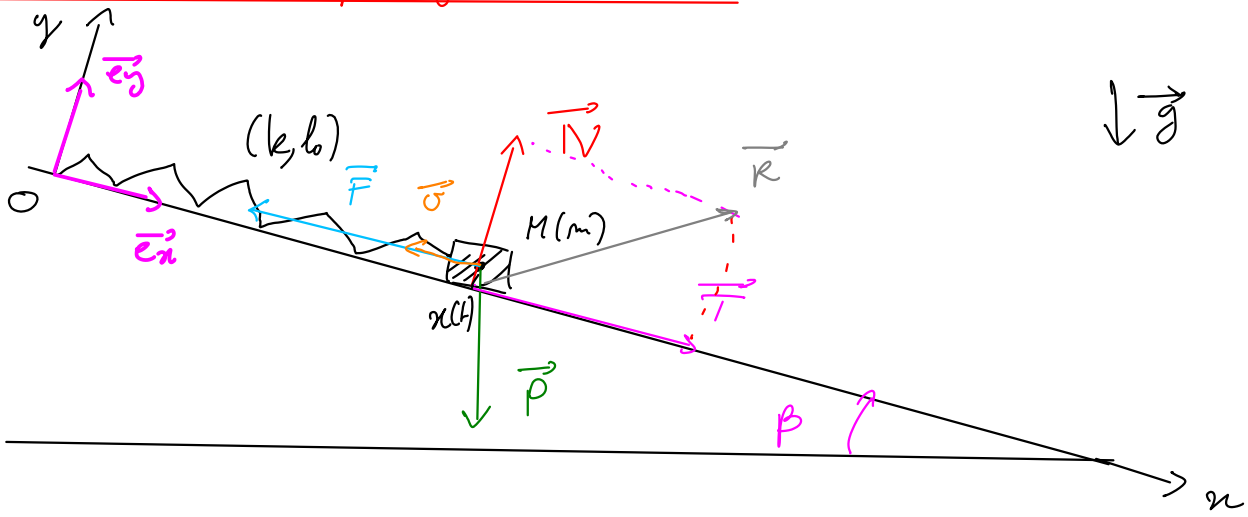
donc la vitesse de colle en $\theta = 2$ (au B)
est !

Donc la condition de décollement est

$$\sigma > \sigma_c$$

avec $\sigma_c = \sqrt{gR \cos 2}$

M3- oscillateur amorti par frottement solide



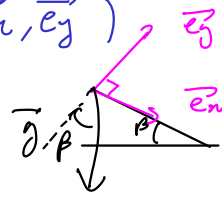
Loi de Coulomb:

$$\begin{cases} \vec{v} = \vec{0} \Leftrightarrow \|\vec{T}\| < f \|\vec{N}\|, & \text{le palet ne glisse pas} \\ \vec{v} \neq \vec{0} \Leftrightarrow \vec{T} = -f \|\vec{N}\| \frac{\vec{v}}{v} & \text{le palet glisse.} \end{cases}$$

1/ Syst: palet de masse m
Ref: terrestre \mathcal{R} , supposé galiléen

Inventaire des forces: base de travail: (\vec{e}_n, \vec{e}_t)

- poids $\vec{P} = m\vec{g} = mg \begin{pmatrix} -\sin\beta \\ \cos\beta \end{pmatrix}$



- réaction normale: $\vec{N} = \begin{pmatrix} 0 \\ N \end{pmatrix}$

inconnue du problème car force de contact solide/solide.

- réaction tangentielle: $\vec{T} = \begin{pmatrix} T \\ 0 \end{pmatrix}$

$\vec{e}_n \parallel \vec{ON}$
de \vec{e}_t sens.

inconnue du problème car force de contact solide/solide.

- tension du ressort: $\vec{F} = -k(l - l_0)\vec{e}_n$ avec $l = x$

$$\vec{F} = \begin{pmatrix} -k(x - l_0) \\ 0 \end{pmatrix}$$

2/ Equation différentielle du mouvement du centre de masse \mathcal{M} .

Théorème de la résultante dynamique appliqué au palet dans \mathcal{R} galiléen:

$$m \frac{d\vec{v}(\mathcal{M})}{dt} \Big|_{\mathcal{R}} = \vec{P} + \vec{F} + \vec{N} + \vec{T}$$

$$\text{avec } \frac{d\vec{v}(\mathcal{M})}{dt} \Big|_{\mathcal{R}} = \begin{pmatrix} \ddot{x} \\ 0 \end{pmatrix}$$

\mathcal{C} contact permanent avec le support.

En projection sur \vec{e}_x et \vec{e}_y .

\vec{e}_x : $m \ddot{x} = mg \sin \beta - k(x - l_0) + T$ (1)

\vec{e}_y : $0 = -mg \cos \beta + N$ (2)

Oscillateur harmonique amorti par frottements solides

3/ A l'équilibre $\ddot{x} = \ddot{y} = 0$ et :

$\|\vec{T}\| < f \|\vec{N}\| (*)$ et $\ddot{x} = 0$ (donc $\ddot{y} = 0$)

or :

(2) $\Rightarrow N = mg \cos \beta$ La réaction normale du support compense la composante orthogonale du poids.

(1) $\Rightarrow T = k(x_{eq} - l_0) - mg \sin \beta$
 $\Rightarrow \|\vec{T}\| = |k(x_{eq} - l_0) - mg \sin \beta|$

L'équation (*) devient :

$|k(x_{eq} - l_0) - mg \sin \beta| < f mg \cos \beta$

$\Leftrightarrow -f mg \cos \beta < k(x_{eq} - l_0) - mg \sin \beta < f mg \cos \beta$

$\Leftrightarrow l_0 + \frac{mg \sin \beta - f mg \cos \beta}{k} < x_{eq} < l_0 + \frac{mg \sin \beta + f mg \cos \beta}{k}$

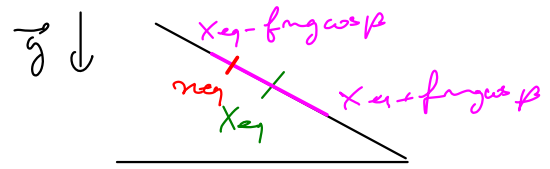
position d'équilibre en l'absence de frottement solide = longueur à vide + allongement dû au poids.
 x_{eq}

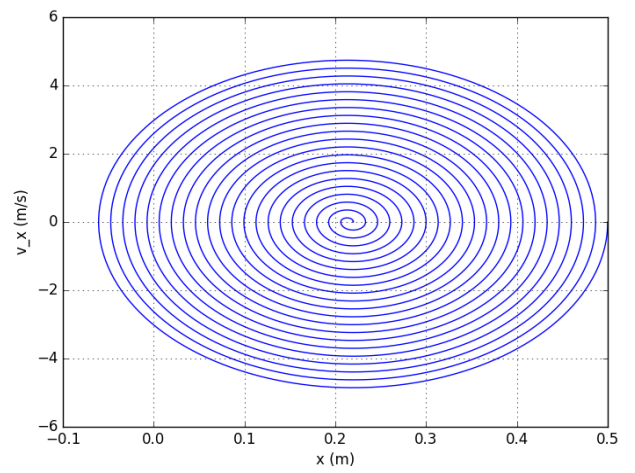
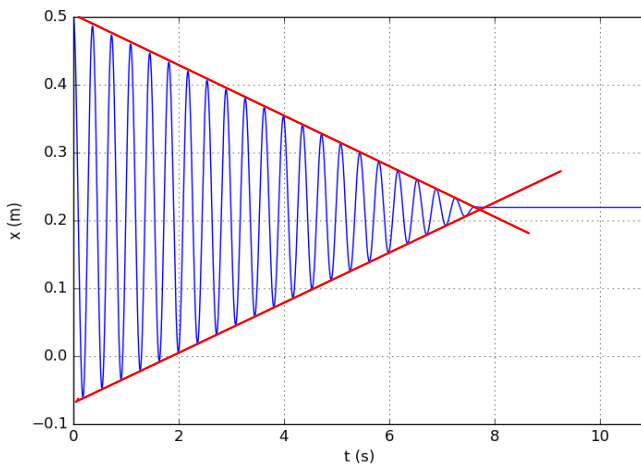
effet des frottements solides.

position d'équilibre en l'absence de frottement solide = longueur à vide + allongement dû au poids.
 x_{eq}

effet des frottements solides.

A l'équilibre : $x_{eq} = [x_{eq} - f mg \cos \beta, x_{eq} + f mg \cos \beta]$





Amortissement par frottements solides

l'amplitude des oscillations décroît linéairement

La position d'équilibre est atteinte au bout d'un temps fini

Amortissement par frottements fluides.

l'amplitude des oscillations décroît exponentiellement.

La position d'équilibre est atteinte au bout d'un temps infini